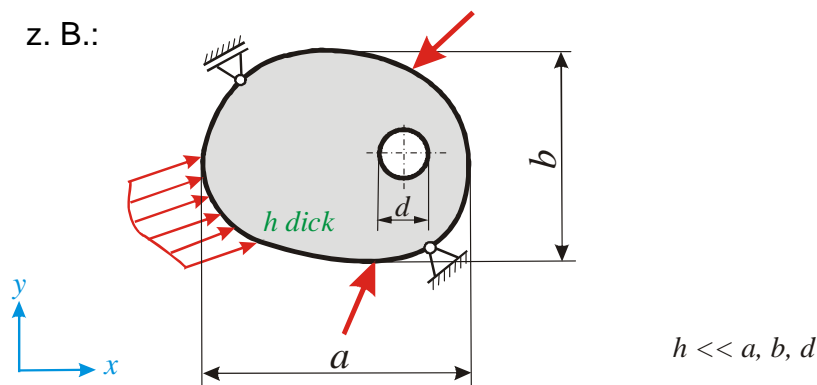


B Flächentragwerke

Flächentragwerk – Tragwerkselement, dessen eine Abmessung (Dicke) sehr klein ist gegenüber den restlichen Abmessungen

1. Scheiben

Scheibe – *ebenes* Flächentragwerk, das nur *in* der Scheibenebene belastet wird
Randbedingungen (Kräfte und Verschiebungen) wirken nur *in* der Scheibenebene
→ Behandlung im ESZ



Rotationssymmetrisch belastete Kreis(ring)scheiben s. Grundstufe

1.1 AIRYsche Spannungsfunktion

(George Airy, 1801-1892)

1.1.1 Formulierung in kartesischen Koordinaten x, y

Von den Feldgleichungen werden zunächst die beiden Gleichgewichtsbedingungen (1.5) ohne Volumenkräfte

$$\begin{aligned}\sigma_{xx,x} + \tau_{yx,y} &= 0 \\ \tau_{xy,x} + \sigma_{yy,y} &= 0\end{aligned}\tag{2.1}$$

aufgeschrieben.

Die erste Gleichgewichtsbedingung wird nach x , die zweite nach y differenziert.

Beide Ergebnisse werden addiert und die Summe nach $2\tau_{xy,xy}$ aufgelöst:

$$2\tau_{xy,xy} = -(\sigma_{xx,xx} + \sigma_{yy,yy}) \quad .$$

Anschließend wird in die erste Kompatibilitätsbedingung (1.16) das Stoffgesetz (1.17) eingesetzt:

$$\varepsilon_{xx,yy} + \varepsilon_{yy,xx} - \gamma_{xy,xy} = \frac{1}{E} \left[(\sigma_{xx} - \nu \sigma_{yy})_{,yy} + (\sigma_{yy} - \nu \sigma_{xx})_{,xx} - 2(1+\nu) \tau_{xy,xy} \right] = 0$$

$$\sigma_{xx,yy} - \nu \sigma_{yy,yy} + \sigma_{yy,xx} - \nu \sigma_{xx,xx} - 2(1+\nu) \tau_{xy,xy} = 0$$

Mit dem $2\tau_{xy,xy}$ aus dem ersten Schritt wird daraus:

$$\begin{aligned} \sigma_{xx,yy} - \nu \sigma_{yy,yy} + \sigma_{yy,xx} - \nu \sigma_{xx,xx} + (1+\nu)(\sigma_{xx,xx} + \sigma_{yy,yy}) &= 0 \\ (\sigma_{xx} + \sigma_{yy})_{,xx} + (\sigma_{xx} + \sigma_{yy})_{,yy} &= 0 \end{aligned}$$

Das Ergebnis ist eine Potenzialgleichung für die Spannungssumme $\Phi = \sigma_{xx} + \sigma_{yy}$:

$$\Delta(\sigma_{xx} + \sigma_{yy}) = \Delta\Phi = 0 \quad \Delta \text{ LAPLACE-Operator [2/1]} \quad (2.2)$$

(Pierre Simon Laplace, 1749 - 1827)

Das Differentialgleichungssystem mit (2.1) und (2.2) kann reduziert werden über den Ansatz:

$$\begin{aligned} \sigma_{xx} &= F(x, y)_{,yy} \\ \sigma_{yy} &= F(x, y)_{,xx} \\ \tau_{xy} &= -F(x, y)_{,xy} \end{aligned} \quad F(x, y) \text{ AIRYSche Spannungsfunktion} \quad (2.3)$$

Mit diesem folgt

$$\sigma_{xx} + \sigma_{yy} = \Delta F = \Phi$$

und damit aus (2.2) endlich

$$\Delta\Delta F = F_{,xxxx} + 2F_{,xxyy} + F_{,yyyy} = 0 \quad \text{Bipotenzialgleichung (LAPLACEsche Dgl.)} \quad (2.4)$$

Die Bipotenzialgleichung ist vom gewählten Koordinatensystem unabhängig. Es ist nur der LAPLACE-Operator im jeweiligen Koordinatensystem zu benutzen.

Lösungen:

Eine einzelne Lösung für $F(x, y)$ lässt sich nicht angeben. Prinzipiell können Lösungen der Bipotenzialgleichung über Lösungen der Potenzialgleichung gefunden werden:

- Lösungen der Potenzialgleichung $\Delta\Phi = 0$, d.h. $F = \Phi$

$$\text{Allgemein gilt: } \Phi = \operatorname{Re}(x \pm iy)^n$$

$$\Phi = \operatorname{Im}(x \pm iy)^n \quad n = 1, 2, 3, \dots$$

Verknüpfungen mit Φ

$$\begin{aligned} \text{z. B.: } F &= x\Phi & F &= y\Phi & F &= (x^2 + y^2)\Phi & F &= \Phi_{,xx} + \Phi_{,yy} & F &= \Phi_{,y}x - \Phi_{,x}y \\ F &= \cos nx \cosh ny & F &= \sin nx \cosh ny \end{aligned}$$

Zusammenfassung im so genannten Katalog:

I	$x, x^2, x^3, xy, x^2y, x^3y, x^4 - y^4, x^4 - 3x^2y^2, \dots$ $y, y^2, y^3, y^2x, y^3x, y^4 - 3x^2y^2, \dots$
II	$\cos nx \cosh ny, \sin nx \cosh ny, \sin nx \sinh ny, \sin nx e^{\pm ny}, \cos nx e^{\pm ny}, \cos ny e^{\pm nx}$ $\cos ny \cosh nx, \dots$ für $n = 1, 2, 3, \dots$
III	$x \cos nx \cosh ny, x \cos ny \cosh nx, x e^{\pm ny} \cos nx, x e^{\pm ny} \sin nx$ $y \cos nx \cosh ny, y \cos ny \cosh nx, \dots$ für $n = 1, 2, 3, \dots$

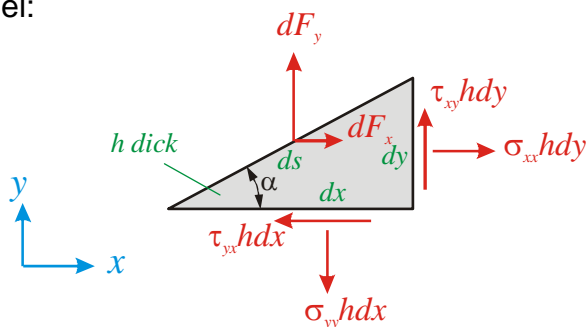
Die Auswahl der Lösung hängt von den zu erfüllenden Randbedingungen ab.

Randbedingungen

Randbedingungen - Aussagen zu Spannungen (Kräften) und/oder Verschiebungen an den Rändern

Anzahl: 2 je Rand

Beispiel:



Kräftegleichgewichtsbedingungen am Randelement:

$$\rightarrow: dF_x + \sigma_{xx} h dy - \tau_{yx} h dx = 0$$

$$\uparrow: dF_y + \tau_{xy} h dy - \sigma_{yy} h dx = 0$$

Einsetzen der Spannungsfunktion nach (2.3) führt auf:

$$dF_x = h (-F_{,yy} dy - F_{,yx} dx) = -h dF_{,y}$$

$$dF_y = h (F_{,xy} dy + F_{,xx} dx) = h dF_{,x}$$

Integration zwischen den Randpunkten A und B:

$$F_x^{AB} = -h \int_{(A)}^{(B)} dF_{,y} = h (F_{,y}^A - F_{,y}^B)$$

$$F_y^{AB} = h \int_{(A)}^{(B)} dF_{,x} = h (F_{,x}^B - F_{,x}^A)$$

Zur Erfüllung der Randbedingungen genügt also die Kenntnis der ersten Ableitungen der Spannungsfunktion an den Randpunkten A und B.

Ist der Rand **kräftefrei**, dann folgt daraus:

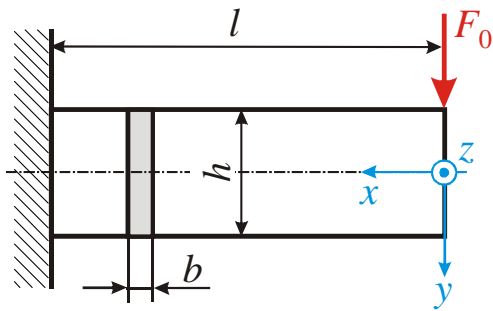
$$F_{,x}^A = F_{,x}^B = F_{,x} = \text{konst.}$$

$$F_{,y}^A = F_{,y}^B = F_{,y} = \text{konst.}$$

Da nach (2.3) die Spannungen aus den zweiten Ableitungen folgen, können die Konstanten null gesetzt werden:

$$F_{,x} = 0$$

$$F_{,y} = 0 \quad .$$

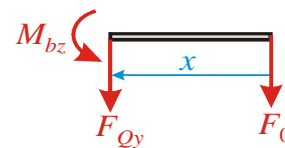
Beispiel: Scheibenträger unter QuerkraftGeg.: b, h, l, F_0

- Ges.: 1. Spannungsfunktion, ausgehend von der elementaren Theorie (Überprüfung: $\Delta\Delta F = 0$, Erfüllung der Randbedingungen)
2. Verschiebungen

Elementare Theorie (Balken):

$$\sigma_{xx} = -\frac{M_{bz}}{I_{zz}} y$$

$$\tau_{xy} = \frac{F_{Qy} S_z}{I_{zz} b}$$



mit: $M_{bz} = F_0 x$

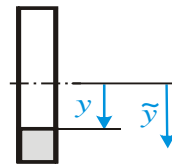
$$F_{Qy} = -F_0$$

$$S_z = \int_y^{\frac{h}{2}} \tilde{y} b d\tilde{y} = \frac{b}{2} \tilde{y}^2 \Big|_y^{\frac{h}{2}} = \frac{b}{2} \left(\frac{h^2}{4} - y^2 \right)$$

$$I_{zz} = \frac{b h^3}{12}$$

$$\sigma_{xx} = -12 \frac{F_0}{b h^3} x y$$

$$\tau_{xy} = -6 \frac{F_0}{b h} \left(\frac{1}{4} - \frac{y^2}{h^2} \right)$$

Aus σ_{xx} wird ein Ansatz für die Spannungsfunktion gewonnen:

$$\sigma_{xx} = F_{,yy} = -12 \frac{F_0}{b h^3} x y \quad | \text{ Integration über } y$$

$$F_{,y} = -6 \frac{F_0}{b h^3} x y^2 + f(x) \quad | \text{ Differenziation nach } x$$

$$F_{,yx} = -\tau_{xy} = -6 \frac{F_0}{b h} \frac{y^2}{h^2} + f'(x)$$

Das erhaltene τ_{xy} wird mit dem der elementaren Theorie (s. o.) verglichen und führt auf:

$$f'(x) = \frac{3}{2} \frac{F_0}{b h} \quad | \text{ Integration über } x$$

$$f(x) = \frac{3}{2} \frac{F_0}{b h} x + c \quad .$$

Damit wird:

$$F_{,y} = -6 \frac{F_0}{b h} x \left(\frac{y^2}{h^2} - \frac{1}{4} \right) + c \quad | \text{ Integration über } y$$

$$F = -6 \frac{F_0}{b} x \left(\frac{1}{3} \frac{y^3}{h^3} - \frac{1}{4} \frac{y}{h} \right) + g(x) \quad .$$

Da c keine Spannungen liefert, wurde bereits von der Definition $c = 0$ Gebrauch gemacht.

Die Spannungsfunktion muss nachstehende (Spannungs-)Randbedingungen erfüllen:

$$1. \text{ Rand } (x; y = \frac{h}{2}): \quad \sigma_{yy} = 0 \quad \tau_{xy} = 0$$

$$2. \text{ Rand } (x; y = -\frac{h}{2}): \quad \sigma_{yy} = 0 \quad \tau_{xy} = 0$$

$$3. \text{ Rand } (0; y): \quad \sigma_{xx} = 0 \quad .$$

Die Bedingungen an den ersten beiden Rändern führen mit:

$$\sigma_{yy} \left(x; \pm \frac{h}{2} \right) = F_{,xx} \left(x; \pm \frac{h}{2} \right) = 0$$

auf:

$$g_{,xx}(x) = 0 \quad .$$

Da $g(x) = k_1 + k_2 x$ keine Spannungen liefert, wird definiert: $g(x) = 0$.

Die Spannungsfunktion lautet damit endgültig:

$$F = -6 \frac{F_0}{b h^3} \left(\frac{1}{3} x y^3 - \frac{h^2}{4} x y \right) \quad .$$

Die Spannungen sind:

$$\sigma_{xx} = F_{,yy} = -12 \frac{F_0}{b h^3} x y \quad (\text{s. elementare Theorie})$$

$$\sigma_{yy} = F_{,xx} = 0$$

$$\tau_{xy} = -F_{,xy} = -6 \frac{F_0}{b h} \left(\frac{1}{4} - \frac{y^2}{h^2} \right) \quad (\text{s. elementare Theorie}) \quad .$$

Kontrollen:

- Erfüllung der Dgl. $\Delta \Delta F = 0$:

$$F_{,xxxx} = 0$$

$$F_{,yyyy} = 0$$

$$F_{,xxyy} = 0$$

Damit erfüllt die gewählte Spannungsfunktion die Dgl.

- Die noch nicht benutzten Randbedingungen werden ebenfalls erfüllt.

- Außerdem gilt:

$$\int_{-\frac{h}{2}}^{\frac{h}{2}} \tau_{xy} b dy = -6 F_0 \left(\frac{1}{4} \frac{y}{h} - \frac{1}{3} \frac{y^3}{h^3} \right) \Big|_{-\frac{h}{2}}^{\frac{h}{2}} = -F_0$$

Die Dehnungen:

$$\varepsilon_{xx} = u_{x,x} = \frac{1}{E} (\sigma_{xx} - \nu \sigma_{yy}) = \frac{\sigma_{xx}}{E} = -12 \underbrace{\frac{F_0}{E b h^3}}_B x y = -B x y$$

$$\varepsilon_{yy} = u_{y,y} = \frac{1}{E} (\sigma_{yy} - \nu \sigma_{xx}) = -\frac{\nu \sigma_{xx}}{E} = \nu B x y$$

werden über x bzw. y integriert:

$$u_x = -\frac{B}{2} x^2 y + \varphi(y)$$

$$u_y = \nu \frac{B}{2} x y^2 + \psi(x) \quad .$$

Die erhaltenen Ergebnisse werden nach y bzw. x differenziert und danach in die Beziehung für die Schubverzerrung:

$$\begin{aligned} \gamma_{xy} &= u_{x,y} + u_{y,x} = \frac{\tau_{xy}}{G} \\ &= -6 \frac{F_0}{b h E} \frac{2(1+\nu)}{h^2} \left(\frac{1}{4} - \frac{y^2}{h^2} \right) = -(1+\nu) B h^2 \left(\frac{1}{4} - \frac{y^2}{h^2} \right) = -\frac{E}{2G} B h^2 \left(\frac{1}{4} - \frac{y^2}{h^2} \right) \end{aligned}$$

eingesetzt. Das Ergebnis lautet:

$$\begin{aligned} -\frac{E}{2G} B h^2 \left(\frac{1}{4} - \frac{y^2}{h^2} \right) &= -\frac{B}{2} x^2 + \varphi'(y) + \nu \frac{B}{2} y^2 + \psi'(x) \\ -\frac{E}{G} \frac{h^2}{8} B &= \underbrace{-\frac{B}{2} x^2 + \psi'(x)}_{d=\text{konst.}} - \underbrace{\frac{E B}{2G} y^2 + \frac{\nu}{2} B y^2 + \varphi'(y)}_{e=\text{konst.}} \quad . \end{aligned}$$

Aus der Bedingung, dass d und e nur konstante Werte liefern dürfen, werden die Funktionen $\psi(x)$ und $\varphi(y)$ bestimmt:

$$\psi'(x) = d + \frac{B}{2} x^2 \quad | \text{ Integration über } x$$

$$\psi(x) = d x + \frac{B}{6} x^3 + m$$

$$\varphi'(y) = e + \frac{E B}{2 G} y^2 - \frac{\nu}{2} B y^2 \quad | \text{ Integration über } y$$

$$\varphi(y) = e y + \frac{E B}{6 G} y^3 - \frac{\nu}{6} B y^3 + n \quad .$$

Damit werden die Verschiebungen:

$$u_x = -\frac{B}{2} x^2 y + \frac{E B}{6 G} y^3 - \frac{\nu B}{6} y^3 + e y + n$$

$$u_y = \frac{\nu B}{2} x y^2 + \frac{B}{6} x^3 + d x + m \quad .$$

Die verbliebenen 4 Konstanten werden über die geometrischen Randbedingungen

$$u_x(l; 0) = 0 \quad \Rightarrow \quad n = 0$$

$$u_y(l; 0) = 0 \quad \Rightarrow \quad \frac{B}{6} l^3 + d l + m = 0$$

$$u_{y,x}(l; 0) = 0 \quad \Rightarrow \quad \frac{B}{2} l^2 + d = 0$$

und den Zusammenhang

$$-\frac{E}{G} \frac{h^2}{8} B = d + e$$

bestimmt:

$$d = -\frac{B}{2} l^2$$

$$m = -\frac{B}{6} l^3 + \frac{B}{2} l^3 = \frac{B}{3} l^3$$

$$e = -\frac{E B}{2 G} \frac{h^2}{4} + \frac{B}{2} l^2 \quad .$$

Die Ergebnisse für die Funktionen der Verschiebungen sind:

$$u_x = 2 \frac{F_0}{E b h^3} \left[-3 x^2 y + (2 + \nu) y^3 + 3 \left(l^2 - \frac{1 + \nu}{2} h^2 \right) y \right]$$

$$u_y = 2 \frac{F_0}{E b h^3} \left(3 \nu x^2 y + x^3 - 3 l^2 x + 2 l^3 \right) \quad .$$

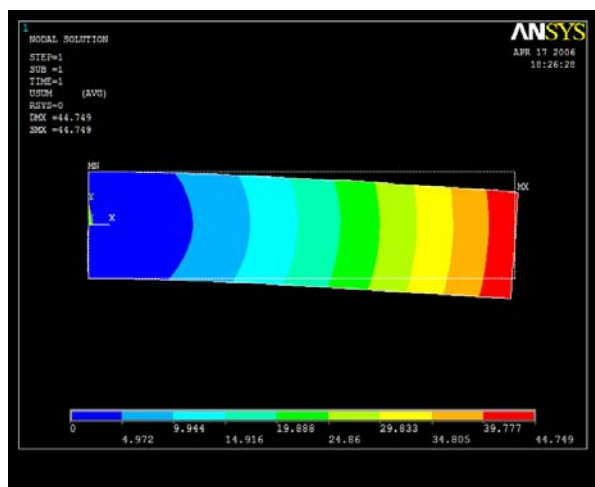
Für $y = 0$ können die Werte mit denen aus der elementaren Biegetheorie verglichen werden:

$$\underline{u_y(x; 0) = 2 \frac{F_0 l^3}{E b h^3} \left(\frac{x^3}{l^3} - 3 \frac{x}{l} + 2 \right)} \quad \underline{u_x(x; 0) = 0}$$

$$\underline{u_y(0; 0) = 4 \frac{F_0 l^3}{E b h^3} = \frac{F_0 l^3}{3 E I_{zz}}} \quad \left(\text{s. o.: } I_{zz} = \frac{b h^3}{12} \right)$$

Es liegt offensichtlich Übereinstimmung vor.

Zum Vergleich: Ergebnisplot für die mit ANSYS erhaltenen Gesamtverschiebungen



1.1.2 Formulierung in Polarkoordinaten r, φ

Mit Hilfe der **Transformationsbeziehungen** [2/2] zwischen kartesischen (x, y) und Polarkoordinaten (r, φ) können die Ableitungen der Spannungsfunktion in Polarkoordinaten geschrieben werden:

$$F_{,x} = F_{,r} r_{,x} + F_{,\varphi} \varphi_{,x} = F_{,r} \cos \varphi - F_{,\varphi} \frac{\sin \varphi}{r}$$

$$F_{,xx} = \left(F_{,r} \cos \varphi - F_{,\varphi} \frac{\sin \varphi}{r} \right)_{,r} \cos \varphi - \left(F_{,r} \cos \varphi - F_{,\varphi} \frac{\sin \varphi}{r} \right)_{,\varphi} \frac{\sin \varphi}{r}$$

$$= F_{,rr} \cos^2 \varphi - 2 F_{,r\varphi} \frac{\sin \varphi \cos \varphi}{r} + 2 F_{,\varphi} \frac{\sin \varphi \cos \varphi}{r^2} + F_{,r} \frac{\sin^2 \varphi}{r} + F_{,\varphi\varphi} \frac{\sin^2 \varphi}{r^2}$$

und analog:

$$F_{,yy} = F_{,rr} \sin^2 \varphi + 2 F_{,r\varphi} \frac{\sin \varphi \cos \varphi}{r} - 2 F_{,\varphi} \frac{\sin \varphi \cos \varphi}{r^2} + F_{,r} \frac{\cos^2 \varphi}{r} + F_{,\varphi\varphi} \frac{\cos^2 \varphi}{r^2}$$

Daraus ergibt sich die Potenzialgleichung:

$$\Delta F = F_{,xx} + F_{,yy} = F_{,rr} + \frac{1}{r} F_{,r} + \frac{1}{r^2} F_{,\varphi\varphi}$$

Der LAPLACE-Operator für Polarkoordinaten hat also die Form:

$$\Delta = \frac{\partial^2}{\partial r^2} + \frac{1}{r} \frac{\partial}{\partial r} + \frac{1}{r^2} \frac{\partial^2}{\partial \varphi^2} \quad .$$

Die **Bipotenzialgleichung** lautet damit:

$$\Delta \Delta F = \left(\frac{\partial^2}{\partial r^2} + \frac{1}{r} \frac{\partial}{\partial r} + \frac{1}{r^2} \frac{\partial^2}{\partial \varphi^2} \right) \left(\frac{\partial^2 F}{\partial r^2} + \frac{1}{r} \frac{\partial F}{\partial r} + \frac{1}{r^2} \frac{\partial^2 F}{\partial \varphi^2} \right) = 0 \quad . \quad (2.5)$$

Lösungen der Bipotenzialgleichung:

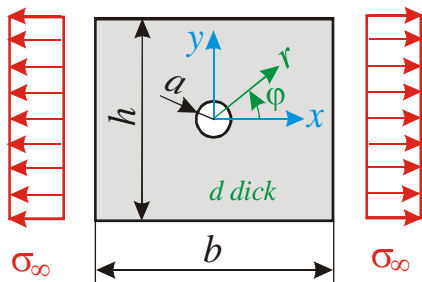
Katalog:

I	$\ln r, r^2, r^2 \ln r$ $r \cos \varphi, \frac{1}{r} \cos \varphi, r^3 \cos \varphi, r \ln r \cos \varphi,$ analog mit $\sin \varphi$ $r^n \cos n\varphi, r^{-n} \cos n\varphi, r^{n+2} \cos n\varphi, r^{-n+2} \cos n\varphi,$ analog mit $\sin \varphi$ für $n \geq 2$
II	$\varphi, \cos 2\varphi, \sin 2\varphi$ $r \varphi \cos \varphi, r \varphi \sin \varphi$ $r^n \cos(n-2)\varphi, r^n \sin(n-2)\varphi$ für $n \geq 3$
III	$\varphi \ln r, r^2 \varphi, r^2 \varphi \ln r$ $r \ln r \varphi \cos \varphi, r \ln r \varphi \sin \varphi$ $\cos(n \ln r) \cosh n\varphi, r^2 \cos(n \ln r) \cosh n\varphi, \sin(n \ln r) \sinh n\varphi, r^2 \cos(n \ln r) \sinh n\varphi$

Formulierung der **Spannungen** mit den Ableitungen der Spannungsfunktion:

$$\begin{aligned} \sigma_{rr} &= \frac{1}{r} F_{,r} + \frac{1}{r^2} F_{,\varphi\varphi} \\ \sigma_{\varphi\varphi} &= F_{,rr} \\ \tau_{r\varphi} &= \frac{1}{r^2} F_{,\varphi} - \frac{1}{r} F_{,r\varphi} = - \left(\frac{1}{r} F_{,\varphi} \right)_{,r} \quad . \end{aligned} \quad (2.6)$$

Die Auswahl der Lösung hängt wieder von den zu erfüllenden Randbedingungen ab.

Beispiel: Gelochte Scheibe unter Zug

Geg.: a, b, h, d [$(a, d) \ll (b, h)$], σ_∞

Ges.: Spannungsverteilung $\sigma_{rr}, \sigma_{\varphi\varphi}$
(speziell in Lochnähe)

In hinreichender Entfernung vom Loch kann ein homogener Zugspannungszustand vorausgesetzt werden, d. h. es gilt:

$$\sigma_{xx\infty} = \sigma_\infty \quad \sigma_{yy\infty} = 0 \quad \tau_{xy\infty} = 0 \quad .$$

Dieser kann durch folgende Spannungsfunktion beschrieben werden:

$$F_\infty = \frac{\sigma_\infty}{2} y^2 = \frac{\sigma_\infty}{2} r^2 \sin^2 \varphi = \frac{\sigma_\infty}{4} r^2 (1 - \cos 2\varphi) \quad . \quad (\text{unter Benutzung von } [1/2])$$

Diesem Ansatz werden weitere ähnliche und in radialer Richtung schnell abklingende Terme überlagert.

Die zusätzlichen Terme sollen den Spannungszustand in Lochnähe beschreiben:

$$F(r, \varphi) = \sum_{n=0,2} A_n r^{\lambda_n} \cos n\varphi \quad .$$

Der Ansatz wird in die Bipotenzialgleichung $\Delta\Delta F = 0$ eingesetzt:

$$\begin{aligned} \Delta F &= A_n \left[\lambda_n (\lambda_n - 1) r^{\lambda_n - 2} + \lambda_n r^{\lambda_n - 2} - n^2 r^{\lambda_n - 2} \right] \cos n\varphi \\ &= A_n \left[\lambda_n^2 - n^2 \right] r^{\lambda_n - 2} \cos n\varphi \end{aligned}$$

$$\begin{aligned} \Delta\Delta F &= A_n \left[\lambda_n^2 - n^2 \right] \left[(\lambda_n - 2)(\lambda_n - 3) r^{\lambda_n - 4} + (\lambda_n - 2) r^{\lambda_n - 4} - n^2 r^{\lambda_n - 4} \right] \cos n\varphi \\ &= A_n \left[\lambda_n^2 - n^2 \right] \left[\lambda_n^2 - 4\lambda_n + 4 - n^2 \right] r^{\lambda_n - 4} \cos n\varphi = 0 \quad . \end{aligned}$$

Die Lösungen sind:

$$\begin{aligned} \text{für } n=0: & \quad \lambda_{01,02} = 0 & \quad \lambda_{03,04} = 2 \\ \text{für } n=2: & \quad \lambda_{21,22} = \pm 2 & \quad \lambda_{23} = 4 & \quad \lambda_{24} = 0 \quad . \end{aligned}$$

Die Spannungsfunktion lautet damit:

$$F = A_0 + B_0 \ln \frac{r}{a} + \frac{\sigma_\infty}{4} r^2 + D_0 r^2 \ln \frac{r}{a} + \left(-\frac{\sigma_\infty}{4} r^2 + B_2 \frac{1}{r^2} + C_2 r^4 + D_2 \right) \cos 2\varphi \quad .$$

Da A_0 keine Spannung bringt und D_0 und C_2 Spannungen liefern, die in r nicht abklingen, wird definiert:

$$A_0 = D_0 = C_2 = 0 \quad .$$

Am Lochrand sind die Bedingungen

$$\begin{aligned} \sigma_{rr}|_{r=a} &= \frac{1}{r} F_{,r} + \frac{1}{r^2} F_{,\varphi\varphi} \Big|_{r=a} = 0 \\ \tau_{r\varphi}|_{r=a} &= \frac{1}{r^2} F_{,\varphi} - \frac{1}{r} F_{,r\varphi} \Big|_{r=a} = 0 \end{aligned}$$

zu erfüllen.

Mit den erforderlichen Ableitungen der Spannungsfunktion:

$$\begin{aligned} F_{,r} &= \frac{1}{r} B_0 + \frac{\sigma_\infty}{2} r + \left(-\frac{\sigma_\infty}{2} r - 2 B_2 \frac{1}{r^3} \right) \cos 2\varphi \\ F_{,\varphi} &= \left(-\frac{\sigma_\infty}{4} r^2 + B_2 \frac{1}{r^2} + D_2 \right) (-2 \sin 2\varphi) \\ F_{,\varphi\varphi} &= \left(-\frac{\sigma_\infty}{4} r^2 + B_2 \frac{1}{r^2} + D_2 \right) (-4 \cos 2\varphi) \\ F_{,r\varphi} &= \left(-\frac{\sigma_\infty}{2} r - 2 B_2 \frac{1}{r^3} \right) (-2 \sin 2\varphi) \quad . \end{aligned}$$

werden die Randbedingungen formuliert:

$$\begin{aligned} \sigma_{rr}|_{r=a} &= \frac{1}{a^2} B_0 + \frac{\sigma_\infty}{2} + \left(-\frac{\sigma_\infty}{2} - 2 B_2 \frac{1}{a^4} + \sigma_\infty - 4 B_2 \frac{1}{a^4} - 4 D_2 \frac{1}{a^2} \right) \cos 2\varphi = 0 \\ \tau_{r\varphi}|_{r=a} &= \left(\frac{\sigma_\infty}{2} - 2 B_2 \frac{1}{a^4} - 2 D_2 \frac{1}{a^2} - \sigma_\infty - 4 B_2 \frac{1}{a^4} \right) \sin 2\varphi = 0 \quad . \end{aligned}$$

Daraus folgen die Bestimmungsgleichungen für B_0 , B_2 , D_2 :

$$\begin{aligned} \frac{B_0}{a^2} + \frac{\sigma_\infty}{2} &= 0 \\ \frac{\sigma_\infty}{2} a^4 - 6 B_2 - 4 D_2 a^2 &= 0 \\ -\frac{\sigma_\infty}{2} a^4 - 6 B_2 - 2 D_2 a^2 &= 0 \end{aligned}$$

mit den Lösungen:

$$B_0 = -\frac{\sigma_\infty}{2} a^2 \quad B_2 = -\frac{\sigma_\infty}{4} a^4 \quad D_2 = \frac{\sigma_\infty}{2} a^2 \quad .$$

Damit lautet die AIRYSche Spannungsfunktion:

$$F(r, \varphi) = \left[-\ln \frac{r}{a} + \frac{1}{2} \frac{r^2}{a^2} + \left(1 - \frac{1}{2} \frac{r^2}{a^2} - \frac{1}{2} \frac{a^2}{r^2} \right) \cos 2\varphi \right] \frac{\sigma_\infty a^2}{2}$$

Die Beziehungen für die Spannungen können somit angegeben werden:

$$\sigma_{rr} = \left[1 - \frac{a^2}{r^2} + \left(1 - 4 \frac{a^2}{r^2} + 3 \frac{a^4}{r^4} \right) \cos 2\varphi \right] \frac{\sigma_\infty}{2}$$

$$\sigma_{\varphi\varphi} = \left[1 + \frac{a^2}{r^2} - \left(1 + 3 \frac{a^4}{r^4} \right) \cos 2\varphi \right] \frac{\sigma_\infty}{2}$$

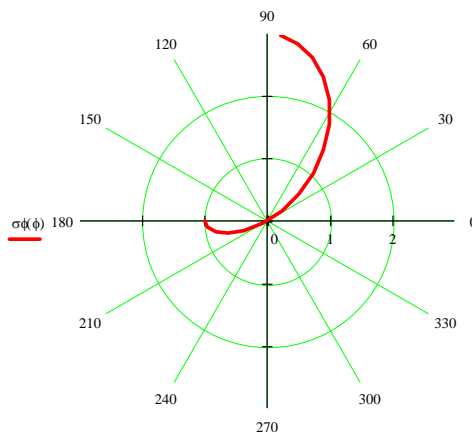
$$\tau_{r\varphi} = \left(-1 - 2 \frac{a^2}{r^2} + 3 \frac{a^4}{r^4} \right) \sin 2\varphi \frac{\sigma_\infty}{2} .$$

Für den **Lochrand** ($r = a$) gilt folglich:

$$\sigma_{rr} = \tau_{r\varphi} = 0$$

$$\sigma_{\varphi\varphi} = (1 - 2 \cos 2\varphi) \sigma_\infty$$

$$\sigma_{\varphi\varphi} \left(\varphi = \frac{\pi}{2} \right) = 3 \sigma_\infty . \quad \text{Das entspricht einem Kerbfaktor von 3!}$$



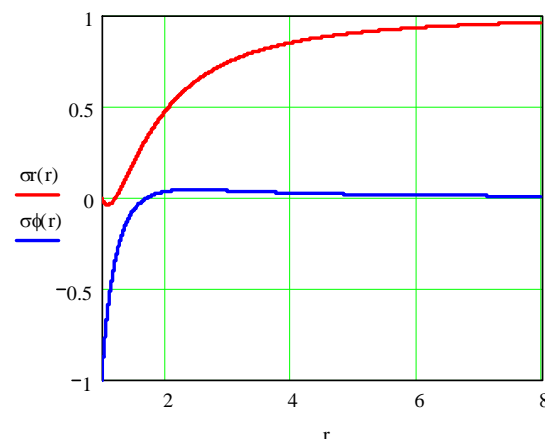
Darstellung für $0 \leq \varphi \leq \frac{\pi}{2}$!

Die Spannungsverläufe in **radialer Richtung** lauten für die Winkel:

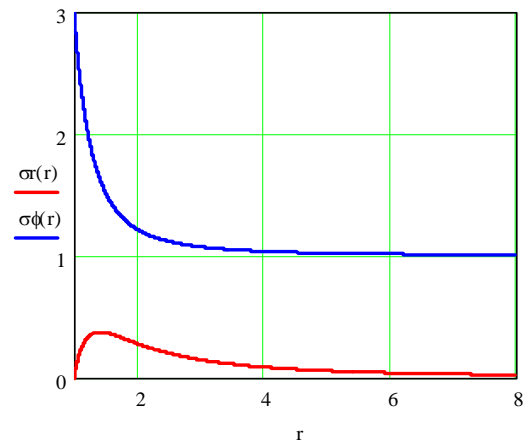
- $\varphi = 0$:
$$\sigma_{rr} = \frac{1}{2} \left(2 - 5 \frac{a^2}{r^2} + 3 \frac{a^4}{r^4} \right) \sigma_\infty$$

$$\sigma_{\varphi\varphi} = \frac{1}{2} \left(\frac{a^2}{r^2} - 3 \frac{a^4}{r^4} \right) \sigma_\infty$$

$$\tau_{r\varphi} = 0$$

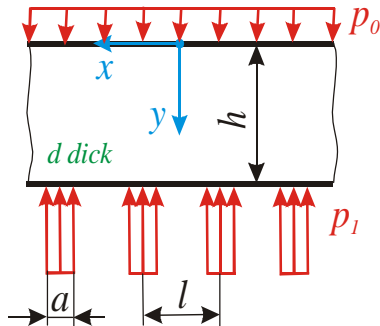


- $\varphi = \frac{\pi}{2}$:
$$\sigma_{rr} = \frac{3}{2} \left(\frac{a^2}{r^2} - \frac{a^4}{r^4} \right) \sigma_{\infty}$$
$$\sigma_{\varphi\varphi} = \frac{1}{2} \left(2 + \frac{a^2}{r^2} + 3 \frac{a^4}{r^4} \right) \sigma_{\infty}$$
$$\tau_{r\varphi} = 0 \quad .$$



1.2 Periodische Randlasten

Beispiel: Ein Scheibenstreifen wird durch eine periodische Gleichgewichtsgruppe belastet.

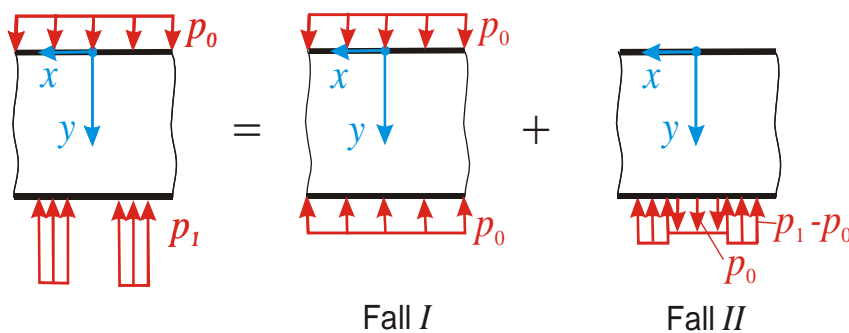


Geg.: $p_0, (p_1), h, l, a, d$

Ges.: σ_{xx} für $x = 0$ und $x = l/2$

1. allgemein
2. für $\frac{a}{l} = \frac{1}{8}$; $\frac{h}{l} = 1$

Zerlegung der Randlasten:



Fall I

Randbedingungen:

$$\left. \begin{array}{l} y = 0: \\ y = h: \end{array} \right\} \quad \sigma_{yyI} = -p_0 \quad \tau_{xyI} = 0$$

Spannungsfunktion:

$$F_I = -\frac{p_0 x^2}{2} \quad .$$

Fall II

Aus Gleichgewichtsgründen berechnet sich p_1 :

$$p_1 = \frac{l}{a} p_0 \quad .$$

Benutzung einer periodisch fortgesetzten Lösung der Periodenlänge l .

Eventuelle Randstörungen der endlich langen Scheibe sind ohne Einfluss auf die

Spannungen bei $-\frac{l}{2} \leq x \leq \frac{l}{2}$.

FOURIERreihenentwicklung für die **Belastung** $p(x)$:

Wahl eines FOURIER-Reihenansatzes (s. [2/4]), der die Randbedingungen erfüllt:

$$p(x) = \frac{a_0}{2} + \sum_{n=1,2,\dots}^{\infty} \left(a_n \cos \frac{n 2 \pi x}{l} + b_n \sin \frac{n 2 \pi x}{l} \right)$$

mit:

$$a_0 = 0$$

$$b_n = 0$$

$$a_n = 2 \frac{2}{l} \int_0^{\frac{l}{2}} p(x) \cos \alpha_n x dx \quad \text{und:} \quad \alpha_n = \frac{n 2 \pi}{l} .$$

In diese Gleichung wird $p(x)$ mit

$$p(x) = \begin{cases} p_0 & \text{für } 0 \leq x \leq \frac{l}{2} - \frac{a}{2} \\ -p_0 \left(\frac{l}{a} - 1 \right) & \text{für } \frac{l}{2} - \frac{a}{2} \leq x \leq \frac{l}{2} \end{cases}$$

eingesetzt. Anschließend erfolgt die Integration über x .

Man erhält die FOURIER-Koeffizienten

$$a_n = \frac{4 p_0}{\alpha_n a} \sin \frac{\alpha_n}{2} (l - a) .$$

Die entwickelte Belastungsfunktion kann damit geschrieben werden:

$$p(x) = \frac{4 p_0}{a} \sum_{n=1,2,\dots}^{\infty} \frac{\sin \frac{\alpha_n}{2} (l - a)}{\alpha_n} \cos \alpha_n x .$$

Für die **Spannungsfunktion** wird ein Produktansatz mit analoger x -Abhängigkeit gewählt:

$$F_{II}(x, y) = \sum_{n=1,2,\dots}^{\infty} f_n(y) \cos \alpha_n x .$$

Dieser wird zunächst in die Bipotenzialgleichung $\Delta \Delta F_{II} = 0$ eingesetzt und liefert für jedes Reihenglied n :

$$\left(f_{n,yyyy} - 2 \alpha_n^2 f_{n,yy} + \alpha_n^4 f_n \right) \cos \alpha_n x = 0 .$$

Die Dgl. für die $f_n(y)$ hat nach [2/3] die Lösung:

$$f_n = A_n \cosh \alpha_n y + B_n \sinh \alpha_n y + C_n \alpha_n y \cosh \alpha_n y + D_n \alpha_n y \sinh \alpha_n y .$$

Die Spannungsfunktion wird zu:

$$F_{II} = \sum_{n=1,2,\dots}^{\infty} \left(A_n \cosh \alpha_n y + B_n \sinh \alpha_n y + C_n \alpha_n y \cosh \alpha_n y + D_n \alpha_n y \sinh \alpha_n y \right) \cos \alpha_n x .$$

Daraus folgen die Spannungen:

$$\begin{aligned}\sigma_{xxII} &= F_{II,yy} \\ &= \sum_{n=1,2,\dots}^{\infty} \alpha_n^2 \left[(A_n + C_n \alpha_n y + 2D_n) \cosh \alpha_n y + (B_n + D_n \alpha_n y + 2C_n) \sinh \alpha_n y \right] \cos \alpha_n x \\ \sigma_{yyII} &= F_{II,xx} \\ &= - \sum_{n=1,2,\dots}^{\infty} \alpha_n^2 \left[(A_n + C_n \alpha_n y) \cosh \alpha_n y + (B_n + D_n \alpha_n y) \sinh \alpha_n y \right] \cos \alpha_n x \\ \tau_{xyII} &= -F_{II,xy} \\ &= \sum_{n=1,2,\dots}^{\infty} \alpha_n^2 \left[(A_n + C_n \alpha_n y + D_n) \sinh \alpha_n y + (B_n + D_n \alpha_n y + C_n) \cosh \alpha_n y \right] \sin \alpha_n x \quad .\end{aligned}$$

Die Integrationskonstanten werden über die (Spannungs-)Randbedingungen:

$$\begin{aligned}\sigma_{yyII}(y=0) &= 0 & \sigma_{yyII}(y=h) &= p(x) = F_{II,xx} \\ \tau_{xyII}(y=0) &= 0 & \tau_{xyII}(y=h) &= 0\end{aligned}$$

berechnet zu:

$$\begin{aligned}A_n &= 0 \\ C_n = -B_n &= \frac{4 p_0}{a \alpha_n^3} \frac{(\sinh \alpha_n h + \alpha_n h \cosh \alpha_n h) \sin \frac{\alpha_n}{2} (l-a)}{\sinh^2 \alpha_n h - \alpha_n^2 h^2} \\ D_n &= -\frac{4 p_0 h}{a \alpha_n^2} \frac{\sinh \alpha_n h \sin \frac{\alpha_n}{2} (l-a)}{\sinh^2 \alpha_n h - \alpha_n^2 h^2} \quad .\end{aligned}$$

Damit können die Spannungen für den Fall *II* berechnet werden.

Sie werden anschließend mit denen aus Fall *I* zum Endergebnis überlagert:

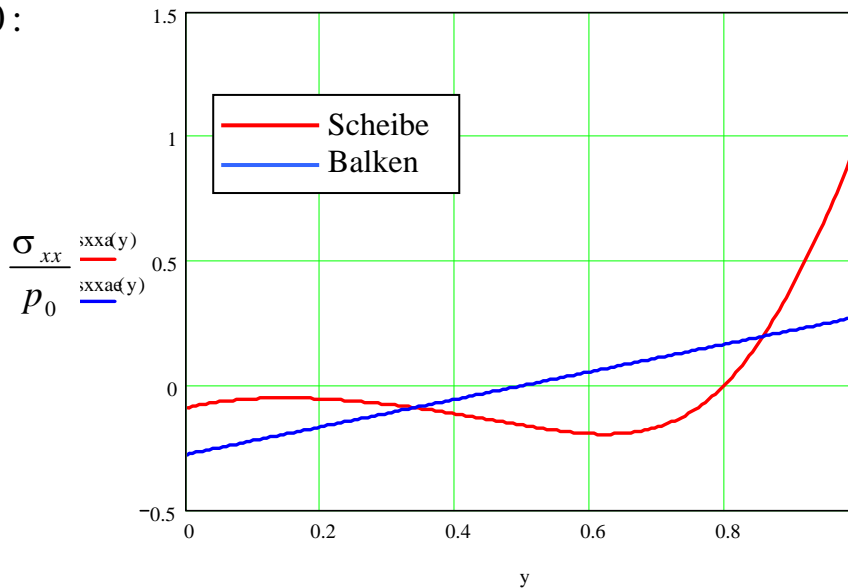
$$\begin{aligned}\sigma_{xx} &= \sigma_{xxI} + \sigma_{xxII} \\ &= \frac{4 p_0}{a} \sum_{n=1,2,\dots}^{\infty} \frac{\sin \left[\frac{\alpha_n}{2} (l-a) \right] \cos \alpha_n x}{\alpha_n (\sinh^2 \alpha_n h - \alpha_n^2 h^2)} \left\{ -\alpha_n (h-y) \sinh \alpha_n h \cosh \alpha_n y - \alpha_n h \sinh \left[\alpha_n (h-y) \right] \right. \\ &\quad \left. + \alpha_n^2 h y \cosh \left[\alpha_n (h-y) \right] + \sinh \alpha_n h \sinh \alpha_n y \right\} \\ \sigma_{yy} &= \sigma_{yyI} + \sigma_{yyII} \\ &= -p_0 + \frac{4 p_0}{a} \sum_{n=1,2,\dots}^{\infty} \frac{\sin \left[\frac{\alpha_n}{2} (l-a) \right] \cos \alpha_n x}{\alpha_n (\sinh^2 \alpha_n h - \alpha_n^2 h^2)} \left\{ (\alpha_n h \cosh \alpha_n h + \sinh \alpha_n h) \sinh \alpha_n h \right. \\ &\quad \left. - \alpha_n^2 h y \cosh \left[\alpha_n (h-y) \right] - \alpha_n y \sinh \alpha_n h \cosh \alpha_n y \right\} \\ \tau_{xy} &= \tau_{xyI} + \tau_{xyII} \\ &= \frac{4 p_0}{a} \sum_{n=1,2,\dots}^{\infty} \frac{\sin \left[\frac{\alpha_n}{2} (l-a) \right] \cos \alpha_n x}{\alpha_n (\sinh^2 \alpha_n h - \alpha_n^2 h^2)} \left\{ -\alpha_n (h-y) \sinh \alpha_n h \sinh \alpha_n y \right. \\ &\quad \left. - \alpha_n^2 h y \sinh \left[\alpha_n (h-y) \right] \right\}\end{aligned}$$

Für σ_{xx} und die gegebenen Geometrieverhältnisse erhält man folgende Beziehung:

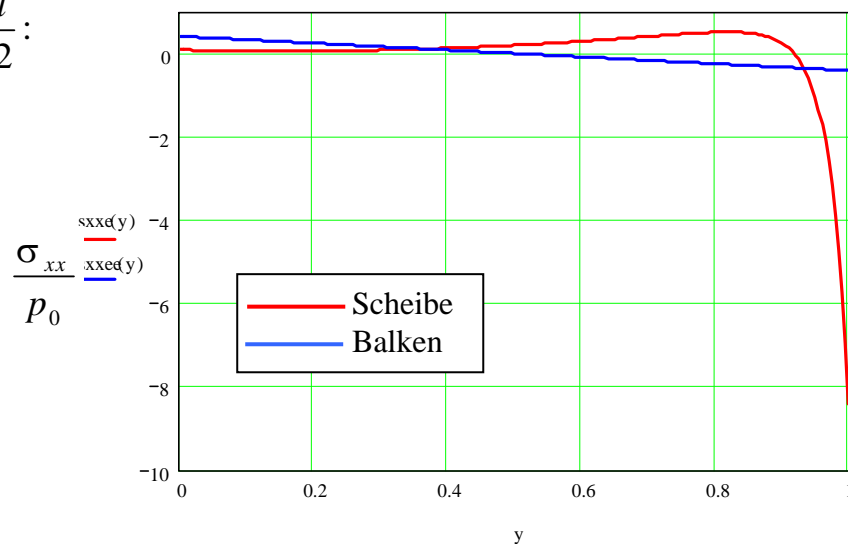
$$\frac{\sigma_{xx}}{p_0} = -32 \sum_{n=1,2,\dots}^{\infty} \frac{\sin\left(\frac{7}{16} \alpha_n l\right) \cos \alpha_n x}{\sinh^2 \alpha_n l - (\alpha_n l)^2} \left\{ \begin{aligned} &\left(1 - \frac{y}{l}\right) \sinh \alpha_n l \cosh \alpha_n y + \alpha_n l \sinh \left[\alpha_n l \left(1 - \frac{y}{l}\right) \right] \\ &\left[-\alpha_n l \cosh \left[\alpha_n l \left(1 - \frac{y}{l}\right) \right] + \frac{1}{\alpha_n l} \sinh \alpha_n l \sinh \alpha_n y \right] \end{aligned} \right\}$$

Diese ist für $x = 0$ und $x = \frac{l}{2}$ in den beiden folgenden Diagrammen dargestellt:

$x = 0$:



$x = \frac{l}{2}$:



In die Diagramme wurden auch die Ergebnisse nach der *elementaren Theorie* (Balken - „Ebenbleiben der Querschnitte“) aufgenommen:

$$\sigma_{xx\,elem} \left(x; y = \begin{cases} 0 \\ h \end{cases} \right) = 6 \frac{M(x)}{d h^2} .$$

Die Schnittmomente wurden dabei über den „Satz von CASTIGLIANO“ ermittelt:

$$M(0) = \frac{21}{512} p_0 d l^2$$

$$M\left(\frac{l}{2}\right) = -\frac{35}{512} p_0 d l^2 \quad .$$

Spezielle Werte für $\frac{\sigma_{xx}(x, y)}{p_0}$ sind damit:

x	y	Scheibe	Balken
0	0	-0,091	-0,246
	h	1,065	0,246
$\frac{l}{2}$	0	-0,092	0,410
	h	-8,413	-0,410

Es ist ersichtlich, dass die elementare Theorie besonders am unteren Rand viel zu kleine Werte liefert.

Die Verschiebung u_x wird über die Dehnung ε_{xx} ermittelt:

$$\varepsilon_{xx} = u_{x,x} = \frac{1}{E} (\sigma_{xx} - \nu \sigma_{yy}) = \frac{1}{E} \left[\nu p_0 + \sum_{n=1,2,\dots}^{\infty} \Phi_n(y) \cos \alpha_n x \right] \quad .$$

Integration über x im Bereich $[0, l/2]$ führt auf:

$$u_x\left(\frac{l}{2}\right) - u_x(0) = \frac{1}{E} \left[\nu p_0 \frac{l}{2} + \sum_{n=1,2,\dots}^{\infty} \frac{1}{\alpha_n} \Phi_n(y) \sin \frac{\alpha_n l}{2} \right] \quad .$$

Da

$$\sin \frac{\alpha_n l}{2} = \sin n\pi = 0 \quad ,$$

ergibt sich schließlich:

$$\underline{u_x\left(\frac{l}{2}\right) - u_x(0) = \frac{\nu p_0 l}{2 E} = \text{konst.}}$$